

庞九洋 顾广仁 著
高攸纲 李既平

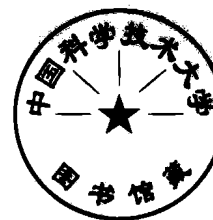
人民邮电出版社

明
清
郵
驛
波
斯
路
工
程

73.425
850

明 綫 載 波 線 路 工 程

庞九洋 顾广仁 著
高攸綱 李既平



人民出版社

内 容 提 要

本书共有八章，針對高頻明線載波電話線路的主要問題，电信線路的串音影响和交叉技术，高頻明線載波进局線路和设备，强电綫对通信綫的影响和防护等进行了比較詳細的讲述。本书可供从事长途电信線路工作的技术人員参考。

明 線 載 波 線 路 工 程

著 者：龐九洋、顧廣仁、高攸綱、李既平

出版者：人 民 邮 电 出 版 社

北京東四 6 条 13 号

(北京市書刊出版業營業許可證出字第〇四八号)

印刷者：北 京 市 印 刷 一 厂

發行者：新 华 书 店

开本 850×1168 1/32 1963 年 7 月北京第一版

印張 11 22/32頁數 187 插頁 2 1963 年 7 月北京第一次印刷

印刷字數 313,000 字 印數 1—2,600 冊

統一書號：15045 · 总1343—有301

定价：(10) 2.20 元

前　　言

在总路綫、大跃进、人民公社三面红旗光辉照耀下，近几年来我国邮电事业有了很大的发展。在长途通信綫路上广泛地安装了載波机，其中不少是十二路載波電話机。由于长途通信綫路技术設備的加多和改善，对工程技术提出了新的、更为严格的要求。同时，由于我国的远距离高压輸电綫路发展也很快，这就产生了通信綫受高压輸电綫路的危险影响与干扰防护的問題，而成为綫路工程中一項极为重要的技术課題。編写本书的目的，就是試圖比較系統、实用地解决明綫載波電話綫路工程中的这些新問題。

本书主要包括三个內容：電話回路交叉技术；长途綫路进局綫路和进局設備；通信綫对强电綫影响的防护。

在交叉技术方面，我們扼要地講述了串音計算、开通十二路載波綫位的选择、我国沿用的几种交叉制式，以及如何改筑交叉等。由于苏联的新交叉指南（1959年公布）考慮了新的問題，改进了計算方法，所以本书有关串音計算的公式是参考了該新交叉指南的。

由于高頻电路的增多，在长途明綫綫路的进局綫路及介入电纜的終端杆上，增加了不少新的設備，例如“三圈一器”、高頻介入电纜等。本书以相当多的篇幅讲解了这些設備的性能、規格、安装方法等，可供实际工作中参考。

关于如何防止强电綫对通信綫的影响，本书除讲解了我国現行規定外，还介紹了国外一些新的計算方法，供讀者参考。

鑑于我国在以上几个方面还没有正式頒布新的統一的規定，而現行規范中的有关規定已感不足，所以本书有关技术標準和計算方法主要取自以下三个方面：一、現行規范中的有关部分；二、国外已經成熟的經驗；三、國內已有使用、比較有效的措施。在我国沒有正式頒布新的規范以前，我們认为这样取材，是可以供讀者参考的。

本书第一章、第二章、第三章是由顾广仁同志編写的；第四章、第五章、第六章是由庞九洋同志編写的；第七章是由李既平同志編写的；第八章是由高攸綱同志編写的。

限于我們的水平，本书內容难免有不够妥善或錯誤之处，希望讀者閱后能提出寶貴意見，以便再版时据以修正提高。

作 者

1962年12月

38420

目 录

前言

第一章 架空明線的电特性	1
一、架空明線的一次参数	1
二、架空明線的二次参数	14
三、反射現象	22
第二章 通信回路的串音影响和回路交叉	23
一、電話回路的串音影响	23
二、串音防卫度标准与减小串音的措施	29
三、電話回路交叉	33
第三章 線路进出增音站的串音影响	72
一、串音影响与产生串音的原因	72
二、各种串音影响的計算方法	74
三、防止串音影响的措施	81
第四章 高頻載波明線进局电纜	89
一、明線进出增音站的路由和电纜的应用	89
二、明線进局电纜的規格程式	92
三、电纜与明線的阻抗匹配	104
四、电纜敷設方式与成端方法	122
五、电纜的串音防卫度与平衡	140
第五章 高頻載波線路进局終端設備	154
一、終端引入杆的位置与建筑型式	154
二、線路进局終端設備	155
三、分級保护与架空地線	177
四、接地装置	184
第六章 明線改交叉工程的設計和施工	196
一、設計的基本要求与設計阶段	196
二、初步設計的格式及內容	199
三、工程設計方案的內容	203

四、技术設計（线路部分）的格式及內容	204
五、改交叉工程的施工作业	215
第七章 通信回路的串音检查	234
一、杆路上产生串音的因素	235
二、进局设备中产生串音的因素	251
三、增音站附近第三回路的串音影响	253
四、增音站內产生串音的因素	253
第八章 强电綫对通信綫的影响和防护	259
一、标准和防护措施类别	259
二、强电綫的分类	262
三、强电綫对通信綫产生影响的基本理論	267
四、危险影响及干扰影响的計算方法	284
五、防护措施	318
附录一 双曲綫函数的一些重要关系式	351
附录二 双曲綫函数表	353
附录三 各种交叉指数图	356

第一章 架空明綫的电特性

一、架空明綫的一次参数

电信线路的导线，一般是用铜、铝、铁等金属材料制成的。传输高频载波电话的长途架空明线线路的导线，采用直径为2.5毫米至4.0毫米的硬拉铜线、3.0毫米至4.0毫米的铜包钢线，也可以采用铝合金线或钢心铝绞线^①。

电信回路具有4个基本电特性：电阻、电感、电容、电导，统称为回路的一次参数。一次参数决定于导线的材料、线路结构、气象影响和通信电流的频率。为了计算方便，都以1公里长的回路的数值来表示。

1. 回路的电阻

回路的电阻决定于导线的材料种类、截面、气温、导磁系数及电流频率。

(1) 直流电阻：

各种导线的直流电阻 R'_0 值，可用下列通用公式计算：

$$R'_0 = \rho \frac{l}{A} = \rho \frac{4000}{\pi d^2} = \rho \frac{1275}{d^2} \text{ 欧/公里}, \quad (1-1)$$

式中 R'_0 ——一根导线每公里的直流电阻值，欧；

ρ ——导线材料在温度 +20°C 时的电阻系数，

$\frac{\text{欧-平方毫米}}{\text{米}}$ ，见表 1-1；

l ——导线的长度，米；

A ——导线的截面积，平方毫米；

d ——导线的直径，毫米。

^① 关于铝合金线或钢心铝绞线的传输特性见“通信用架空铝导线”一书（人民邮电出版社出版），本书不再介绍。

单綫回路利用大地作为另一条导綫，大地的电阻可认为是零，因此单綫回路的直流电阻就是 R'_0 值。

当溫度变化时，导綫电阻是随着溫度的增加而增大的，假設溫度不是 $+20^{\circ}\text{C}$ ，而是 $t^{\circ}\text{C}$ ，則，导綫的直流电阻为：

$$R'_t = R'_0 [1 + \alpha(t - 20)], \quad (1-2)$$

式中 t ——导綫所处的溫度，摄氏度数（如果所处的溫度低于零度，式中 t 应取负号）；

R'_t ——导綫在溫度 t 时的直流电阻，欧；

α ——导綫材料的溫度系数，見表 1-1。

表 1-1 导綫材料在 $+20^{\circ}\text{C}$ 的电阻系数及溫度系数

导綫材料	电 阻 系 数 $\rho, t=+20^{\circ}\text{C}$ (欧—平方毫米/米)	溫 度 系 数 α
銅	0.01785	0.0039
鋁	0.0291	0.0037
鐵（鋼）	0.139	0.0046

銅包鋼綫的直流电阻，可按銅层和鋼心的并联电阻計算：

$$R'_0 = \frac{R'_{01} R'_{02}}{R'_{01} + R'_{02}} \text{ 欧/公里}, \quad (1-3)$$

式中 R'_0 ——一根銅包鋼綫的每公里直流电阻值，欧；

R'_{01} ——鋼心的直流电阻值；

R'_{02} ——銅层的直流电阻值，以下式計算：

$$R'_{02} = \rho \frac{l}{A} = \rho \frac{1275}{d^2 - d_0^2} \text{ 欧/公里}, \quad (1-4)$$

式中 A ——銅层的截面积，平方毫米；

d ——銅包鋼綫的直径，毫米；

d_0 ——鋼心綫的直径，毫米。

为了計算方便，各种导綫的单綫直流电阻，可分別按下列实用公式来計算：

$$\left. \begin{array}{l}
 \text{單銅線: } R'_0 = \frac{22.7}{d^2} \text{ 欧/公里;} \\
 \text{單鐵線: } R'_0 = \frac{176}{d^2} \text{ 欧/公里;} \\
 \text{單銅包鋼線: } R'_0 = \frac{22.7}{d^2 - 0.871d_0^2} \text{ 欧/公里.}
 \end{array} \right\} \quad (1-5)$$

雙線回路的直流電阻（通稱為環路電阻）為兩條單線的直流電阻之和。通信回路所用的雙線，應該是同質、同徑的導線，所以雙線回路的直流電阻 R_0 值用下式計算：

$$R_0 = 2R'_0 = \rho \frac{8000}{\pi d^2} = \rho \frac{2550}{d^2} \text{ 欧/公里}, \quad (1-6)$$

式中 R_0 ——雙線回路每公里的直流電阻值，歐。

雙線回路的兩條導線的直流電阻值如果不相等，則稱為電阻不平衡。在一個增音段內，不平衡電阻的允許值如下：

銅線或銅包鋼線回路，不大於 2 欧；

直徑 4.0 毫米鐵線回路，大不於 5 欧；

直徑 3.0 毫米鐵線回路，不大於 10 欧。

用上述公式計算出來的電阻是標準值（標稱值），但由於導線的原材料及直徑的不均勻影響，以及在建築中不可避免地要有接續，因此，實測出來的回路電阻值，比標稱值可能要大一些，一般規定：

銅線電阻實測值，不超過計算值的 5%；

銅包鋼線電阻實測值，不超過計算值的 7%；

鐵線電阻實測值，不超過計算值的 10%；

各種導線的直流電阻計算值見表 1-2。

(2) 交流電阻

當導線內通過交流電流時，導線及其周圍產生了交變的磁場，於是就在導線內產生了與原來電勢作用相反的電動勢。交流電流的頻率越高，磁場越強和變化越快，則反電勢越大。又因導線內部的磁場較導線外層部份的磁場強，所以在導線中部產生的反電動勢也

表 1-2 单綫導線的直流電阻標準值

綫質綫徑	電 阻 标 准 值 欧/公里						
	-30°C	-20°C	-10°C	0°C	+10°C	+20°C	+30°C
銅綫 $d=2.5$ 毫米	2.91	3.06	3.20	3.34	3.49	3.63	3.77
" $d=3.0$ "	2.03	2.12	2.22	2.32	2.42	2.52	2.62
" $d=3.5$ "	1.49	1.56	1.63	1.70	1.78	1.85	1.92
鐵綫 $d=3.0$ "	15.10	16.00	16.89	17.75	18.65	19.55	20.44
$d=4.0$ "	8.50	9.00	9.50	10.00	10.50	11.00	11.50
銅包鋼綫 $d=3.0$ "	5.87	6.16	6.45	6.75	7.03	7.32	7.61
$d=4.0$ "	2.56	2.69	2.82	2.96	3.09	3.22	3.35

就較大。当交流电流頻率很高时，导綫内部的反电动势强到几乎使电流不能通过的程度，因而使电流集中在导綫的外层部份，这种現象叫做“集肤作用”。导綫的导磁系数越大，集肤作用越显著。

可以想見，导綫中心部份通过的电流减小，相当于导綫截面積減小，并且外层部份也存在着反电动势，因此交流电阻显然比直流电阻大。电流頻率越高，电阻值越大；导綫的导磁系数越大，随頻率增加的交流电阻值也越大。

双綫回路的交流电阻 R_{\sim} 按下式計算：

$$R_{\sim} = R_0 k_1 \text{ 欧/公里}, \quad (1-7)$$

式中 R_0 ——双綫回路的直流电阻值，欧；

表 1-3 因集膚作用使导綫电阻增加的系数 k_1 值

α	k_1	α	k_1	α	k_1	α	k_1
0.0	1.000	3.5	1.492	8.0	3.094	15.0	5.562
0.5	1.000	4.0	1.678	9.0	3.446	20.0	7.328
1.0	1.005	4.5	1.863	10.0	3.799	25.0	9.094
1.5	1.026	5.0	2.043	11.0	4.151	30.0	10.861
2.0	1.078	5.5	2.219	12.0	4.504	40.0	14.394
2.5	1.175	6.0	2.394	13.0	4.856	50.0	17.939
3.0	1.318	7.0	2.743	14.0	5.209	100.0	35.607

k_1 ——因集肤作用使导线电阻增加的系数，见表 1-3。

表内 α 值是按下式求得的：

$$\alpha = 5 \sqrt{\frac{f\mu}{R'_0 \times 10^4}} = 7.09 \sqrt{\frac{f\mu}{R'_0 \times 10^4}}, \quad (1-8)$$

式中 f ——电流频率，赫；

μ ——相对导磁系数，铜线的 $\mu=1$ ；铁线的 $\mu=120$ 。

铁线和铜线的电阻随频率变化的情况如图 1-1 和图 1-2 所示。

通过计算可以证明：因铁线的电阻系数和导磁系数都比较大，

R 欧/公里

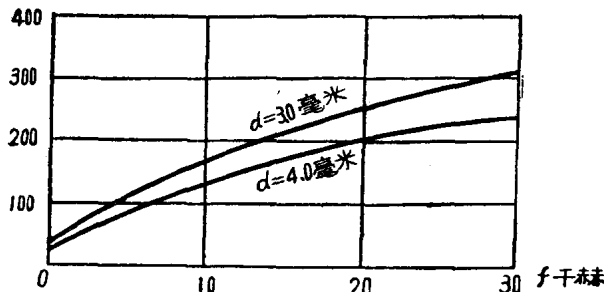


图 1-1 铁线电阻频率曲线图

R 欧/公里

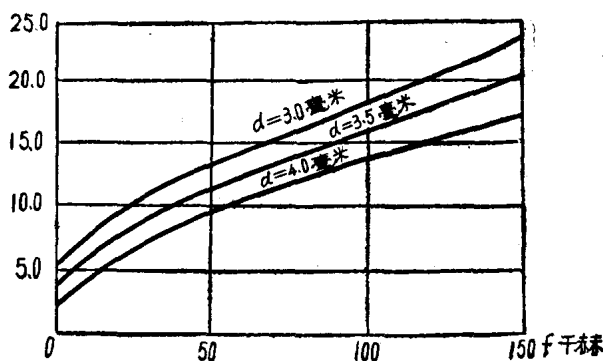


图 1-2 铜线电阻频率曲线图

所以直流及交流电阻都較大。因此一般只用来开通音頻電話(200—3000赫)及单路載波電話(频率低于10千赫)，或者开通短距离的3路載波電話(频率至25千赫)。

銅線的直流电阻和交流电阻远較鐵線为小，而且随频率增加的数值也較小，因此可以用于长距离通信及用来开通3路載波(频率至30千赫)和12路載波電話(频率至150千赫)。

(3) 由于集肤作用，电流在高頻时是沿着导線外层部分传输的。因此高頻通信时可以采用外层为銅，中心为鋼的銅包鋼線，通常采用銅层厚度为0.2至0.4毫米、鋼心直径为2.6至3.2毫米的导線，見图1-3。

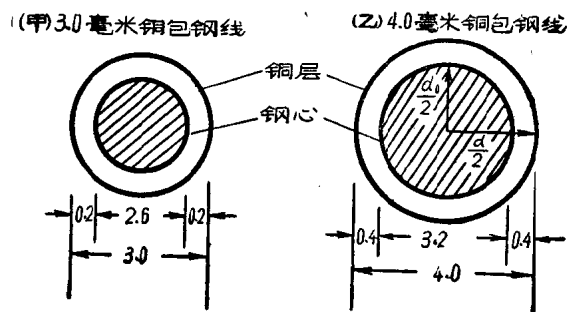


图 1-3

銅包鋼線的直流电阻，按公式(1-3)計算。

当交流电频率低于10千赫时，其实效电阻可利用公式(1-3)来计算，这时应以鋼心线的交流电阻 R'_{01} 来代替式中的 R'_{02} 。但在电流频率增高时，由于集肤作用显著，电流大部分通过导線的外层，因此，一般在频率超过10千赫时，其交流电阻以下式計算：

$$R'_\sim = R'_{02} \left(1 - \frac{\theta}{d}\right) k'_1 \text{ 欧/公里}, \quad (1-9)$$

式中 R'_\sim ——銅包鋼線的交流电阻值；

θ ——外层銅层的厚度，毫米；

d ——銅包鋼線的直径，毫米；

k'_1 ——銅包鋼綫的電阻增加系數，見表1-4。

表 1-4 銅包鋼綫的電阻增加系數 k'_1 值

y	0	0.1	0.2	0.3	0.4	0.5	0.6	0.7
k'_1	0.9	0.94	0.97	1.00	1.02	1.04	1.06	1.09
y	0.8	0.9	1.0	1.1	1.2	1.3	1.4	1.5
k'_1	1.13	1.17	1.23	1.28	1.34	1.43	1.50	1.61
y	1.6	1.7	1.8	1.9	2.0	2.5	3.0	≥ 3.5
k'_1	1.70	1.79	1.88	1.97	2.06	2.52	3.01	$k'_1 = y$

表 1-4 中，

$$y = 2 \times 10^{-3} \times \theta \sqrt{\frac{f \mu}{\rho}}, \quad (1-10)$$

f ——頻率，赫。

銅綫的 $\mu=1$, $\rho=0.0178$, 代入上式則得：

$$y = 1.5 \times 10^{-2} \times \theta \sqrt{f}. \quad (1-11)$$

銅包鋼綫的電阻頻率曲線如圖 1-4 所示。在低頻時銅包鋼綫的電阻值較相同線徑的銅綫的電阻大得很多，但在高頻時由於集肤作用兩者相差則很小，因此可以用銅包鋼綫來開通高頻載波電話，以

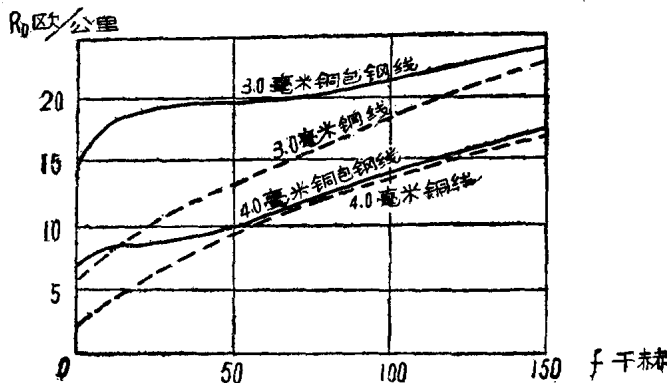


图 1-4

节约价值昂贵的铜。不过制造铜包钢线比较困难，同时低频电阻较大，音频通信质量较差。目前一般只在导线需要高强度的地方，例如过河线、超重负荷区等地方（铜线的机械拉断应力为39公斤/平方毫米，铜包钢线为75公斤/平方毫米）。

2. 回路的电感

导线的磁通量与产生此磁通的电流之比称为电感，其数值与导线的材料、直径和两导线间的距离有关，并随着频率的改变而变化。

(1) 单线回路的电感量为：

$$L' = \frac{1}{2} \left[4 \ln \frac{2h}{r} + k_2 \mu \right] \times 10^{-4} \text{ 亨/公里}, \quad (1-12)$$

式中 L' ——单线回路1公里的电感量；

h ——导线架挂高度，厘米；

r ——导线的半径，厘米；

k_2 ——因集肤作用使导线自感减小的系数，见表1-5。

表 1-5 因集肤作用使导线自感减小的系数 k_2 值

x	k_2	x	k_2	x	k_2	x	k_2
0	1.000	3.5	0.766	8.0	0.351	15.0	0.188
0.5	1.000	4.0	0.688	9.0	0.313	20.0	0.141
1.0	0.997	4.5	0.616	10.0	0.282	25.0	0.113
1.5	0.987	5.0	0.556	11.0	0.256	30.0	0.094
2.0	0.961	5.5	0.507	12.0	0.235	40.0	0.071
2.5	0.913	6.0	0.465	13.0	0.217	50.0	0.057
3.0	0.845	7.0	0.400	14.0	0.202	100.0	0.028

(2) 双线回路的电感量为：

$$L = \left[4 \ln \frac{a}{r} + k_2 \mu \right] \times 10^{-4} \text{ 亨/公里}, \quad (1-13)$$

式中， L ——双线回路1公里的电感量，亨；

a ——回路两导线间的距离，厘米。

(1-12) 和 (1-13) 式中，括号里边的第一项是外电感，括号里的第二项是内电感。由表 1-5 可以看出，系数 b_2 随着频率增大而由 1 趋向于 0 (在无穷大频率时)。这样看来，随着频率增高，由于集肤作用，使导线内的磁通量减小，内电感接近于零，于是单线和双线回路的电感趋近于外电感值。

通过计算可以证明，铁线的内电感在频率增高时显著地减小，但铜线由于相对导磁系数低，频率变化时，内电感只有很小的变化，而外电感主要是由导线架挂位置来决定。如果架挂方式不变，电感量几乎是一个常数。

(2) 铜包钢线的总磁通量等于内层钢线和外部铜层的磁通之和。

在频率较低时，双线回路的电感为：

$$L = \left\{ 4 \ln \frac{a}{r} + \mu_2 \left[1 + \frac{R_2}{R_1 + R_2} \left(4 \ln \frac{r}{r_1} + \frac{\mu_1}{\mu_2} - 1 \right) \right] \right\} \times 10^{-4}$$

亨/公里， (1-14)

式中 R_1 ——钢心的电阻，欧/公里；

R_2 ——铜层的电阻，欧/公里；

r_1 ——导线钢心线的半径，厘米；

μ_1, μ_2 ——分别为钢线和铜线的导磁系数。

因 μ_1 远大于 μ_2 ，公式 (1-14) 的 $\left(4 \ln \frac{r}{r_1} + \frac{\mu_1}{\mu_2} - 1 \right)$ 项内，

$4 \ln \frac{r}{r_1}$ 及 -1 两项可以忽略不计，因而：

$$4 \ln \frac{r}{r_1} + \frac{\mu_1}{\mu_2} - 1 = \frac{\mu_1}{\mu_2} = 120,$$

代入式 (1-14)，得

$$L = \left\{ 4 \ln \frac{a}{r} + 1 + \frac{120 R_2}{R_1 + R_2} \right\} \times 10^{-4} \text{ 亨/公里。} \quad (1-15)$$

当频率增高时，钢心内的磁通减少，大部份磁通存在于铜层内，而当频率很高时，钢心内几乎没有磁通了。所以，在频率超过

10千赫时，双綫回路的电感按下式計算：

$$L = \left(4 \ln \frac{a}{r} + \frac{\theta}{d} k'_2 \right) \times 10^{-4} \text{ 亨/公里}, \quad (1-16)$$

式中 k'_2 ——銅包鋼綫的自感減小系数，見表 1-6。

表 1-6 銅包鋼綫的自感減小系数 k'_2 值

y	0	0.1	0.2	0.3	0.4	0.5	0.6	0.7
k'_2	206	160	100	62	38	24	14	8
y	0.8	0.9	1.0	1.1	1.2	1.3	1.4	1.5
k'_2	6	5	4	3.2	2.9	2.7	2.5	2.4
y	1.6	1.7	1.8	1.9	2.0	2.5	3.0	$\geqslant 3.5$
k'_2	2.3	2.2	2.1	2.0	1.9	1.6	1.3	$\frac{4}{y}$

表內 y 值以 (1-10) 或 (1-11) 公式計算。

鉄綫、銅綫、銅包鋼綫双綫回路电感頻率特性如图 1-5 所示。

由图可見，銅包鋼綫的电感在頻率很高时等于銅綫的电感。

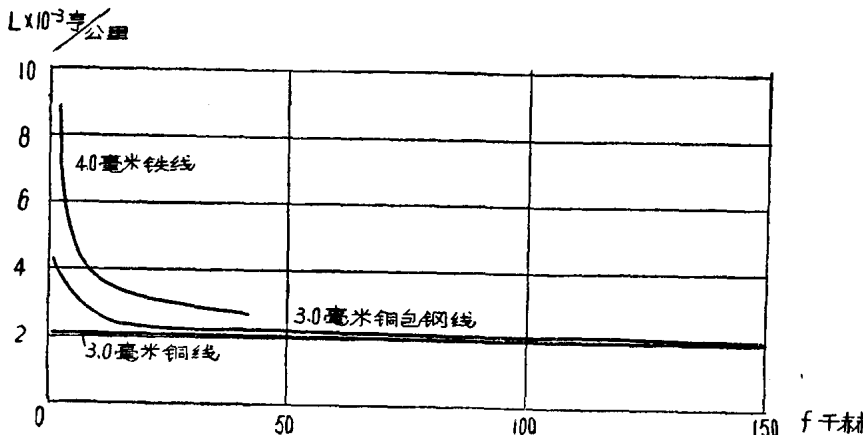


图 1-5